

## 6. Método do Lugar das Raízes

### 6.1 Introdução

O Método do Lugar das Raízes (M.L.R.) é uma **técnica gráfica** que permite visualizar de que forma os **polos** de um sistema em **malha fechada** variam quando se altera o valor de um parâmetro específico (o **ganho**, em geral).

**Originalmente**, a técnica era utilizada para determinar o **valor numérico** dos polos de malha fechada de um sistema. Por essa razão era necessário efetuar a construção gráfica da forma mais **precisa** possível. Foi desenvolvido um instrumento auxiliar, chamado **espirula**, para esse fim.

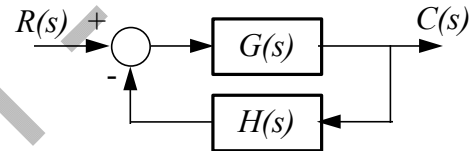
**Atualmente**, porém, é possível obter os polos do sistema em malha fechada de maneira rápida e precisa usando **programas computacionais**. Apesar disso, o M.L.R. continua sendo uma ferramenta de grande utilidade no projeto de sistemas de controle por permitir ao projetista definir adequadamente a **estrutura do controlador** apropriado a cada problema.

### 6.2 O Lugar Geométrico das Raízes

O Lugar Geométrico das Raízes (L.G.R.) é um gráfico construído a partir do conhecimento dos polos e zeros do sistema em **malha aberta**. Tomando o ganho como parâmetro, o L.G.R. é o conjunto dos pontos no plano complexo que correspondem aos polos do sistema em **malha fechada**.

Consideremos então o sistema em malha fechada representado pelo diagrama de blocos ao lado. Conforme já vimos, sua Função de Transferência em malha fechada é dada por:

$$\frac{C(s)}{R(s)} = \frac{G(s)}{1 + G(s) \cdot H(s)}$$



e, portanto, os **polos** do sistema em **malha fechada** (que, naturalmente, determinam as características da resposta do sistema em malha fechada) são as raízes da equação:

$$1 + G(s) \cdot H(s) = 0$$

ou seja:

$$G(s) \cdot H(s) = -1 + j \cdot 0$$

A forma complexa foi usada para enfatizar que se trata de uma igualdade de números complexos. Por esta razão, a equação desdobra-se em uma **condição de fase**:

$$\angle G(s) \cdot H(s) = 180^\circ \pm i \cdot 360^\circ \quad (i = 0, 1, 2, \dots)$$

e uma **condição de módulo** (ou de **ganho**):

$$|G(s) \cdot H(s)| = 1$$

Consideremos o caso geral em que:

$$G(s) \cdot H(s) = \frac{k \cdot (s - z_1) \cdot (s - z_2) \cdot \dots \cdot (s - z_m)}{(s - p_1) \cdot (s - p_2) \cdot \dots \cdot (s - p_n)} \quad \text{(Forma de polos e zeros)}$$

onde  $z_1, z_2, \dots, z_m$  são os zeros em malha aberta;  $p_1, p_2, \dots, p_n$  são os polos em malha aberta e  $k$  é o ganho (ou, mais apropriadamente, o ganho aparente), que, por simplicidade, vamos supor positivo:

$$k > 0 .$$

Antes de prosseguir, note que os polos do sistema em malha fechada são as raízes de  $1 + G(s) \cdot H(s) = 0$ , isto é, as raízes do polinômio característico:

$$(s - p_1) \cdot (s - p_2) \cdot \dots \cdot (s - p_n) + k \cdot (s - z_1) \cdot (s - z_2) \cdot \dots \cdot (s - z_m) = 0$$

e que, em geral, é impossível calculá-las analiticamente para  $n > 5$ .

Voltando ao problema, a condição de fase pode ser escrita como:

$$\boxed{\underbrace{|s - z_1|}_{\phi_1} + \underbrace{|s - z_2|}_{\phi_2} + \dots + \underbrace{|s - z_m|}_{\phi_m} - \underbrace{|s - p_1|}_{\theta_1} - \underbrace{|s - p_2|}_{\theta_2} - \dots - \underbrace{|s - p_n|}_{\theta_n} = 180^\circ \pm i \cdot 360^\circ} \quad (i = 0, 1, 2, \dots)$$

O L.G.R. é definido como sendo o conjunto dos pontos  $s$  do plano complexo que satisfazem a esta condição.

Esta forma de escrever a condição de fase serve de base para a obtenção de regras que facilitam o traçado do L.G.R..

Note que  $s - z_i$ , por exemplo, é um número complexo que pode ser representado no plano complexo conforme ilustrado na figura ao lado, onde:

$$\phi_i = \angle |s - z_i|$$

é seu ângulo de fase, medido no sentido anti-horário a partir do eixo real.

Se representarmos por  $\theta_i$  a fase de  $s - p_i$ , isto é,

$$\theta_i = \angle |s - p_i|,$$

a condição de fase pode ser reescrita como:

$$\phi_1 + \phi_2 + \dots + \phi_m - \theta_1 - \theta_2 - \dots - \theta_n = 180^\circ \pm i \cdot 360^\circ \quad (i = 0, 1, 2, \dots).$$

Esta é, pois, a condição **geométrica** que permite determinar se um dado ponto do plano complexo pertence ou não ao L.G.R..

Observe que essa condição é **independente** do valor do ganho  $k$ , pois sendo  $k$  positivo, sua fase é **nula**.

Considere então um ponto  $s$  particular do plano complexo para o qual a condição de fase é satisfeita. A condição de ganho permite determinar o valor de  $k$  associado a este ponto  $s$  em particular, pois:

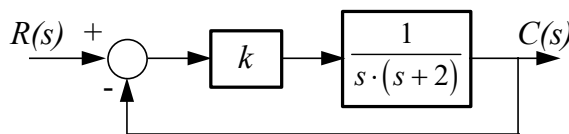
$$|G(s) \cdot H(s)| = k \cdot \frac{|s - z_1| \cdot |s - z_2| \cdot \dots \cdot |s - z_m|}{|s - p_1| \cdot |s - p_2| \cdot \dots \cdot |s - p_n|} = 1$$

e, portanto:

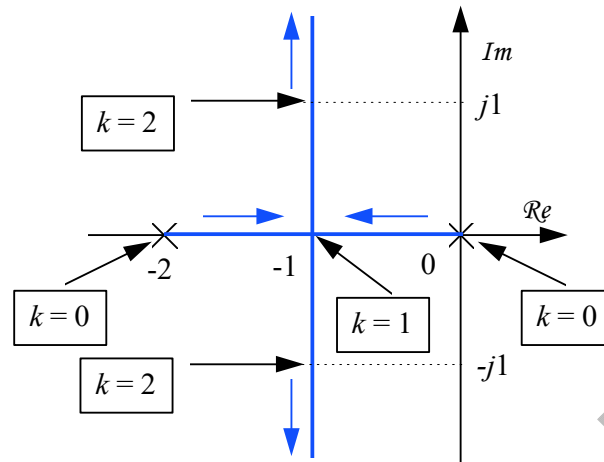
$$k = \frac{|s - p_1| \cdot |s - p_2| \cdot \dots \cdot |s - p_n|}{|s - z_1| \cdot |s - z_2| \cdot \dots \cdot |s - z_m|}$$

Em resumo, a condição de fase permite, em tese, traçar o L.G.R. e a condição de ganho, parametrizá-lo em termos do ganho  $k$ .

**Exemplo:** Seja o sistema:



O L.G.R. associado a este sistema é o seguinte:



**Exercício:** verifique que todos os pontos do diagrama acima de fato pertencem ao L.G.R., isto é, satisfazem a condição de fase. Verifique também que, conforme ilustra a figura:

- para  $k=1$ : os polos do sistema em malha fechada são reais e iguais a  $-1$ ;
- para  $k=2$ : os polos em malha fechada são  $-1 \pm j$ ;

### 6.3 Regras para o Traçado do L.G.R.

Uma vez definido o L.G.R., passemos a elaborar regras que permitam simplificar e sistematizar o seu traçado.

#### Continuidade do L.G.R.

Como as raízes dos polinômios são funções contínuas dos coeficientes, o L.G.R. é constituído por curvas contínuas no plano complexo.

#### Simetria do L.G.R.

Como o polinômio característico tem coeficientes reais, suas raízes podem ser de dois tipos apenas:

- \* raízes reais;
- \* pares de raízes complexas conjugadas.

Sendo assim, é imediato concluir que o L.G.R. é **simétrico** em relação ao **eixo real** do plano complexo.

#### Número de ramos do L.G.R.

Como o polinômio característico de malha fechada

$$(s - p_1)(s - p_2) \dots (s - p_n) + k(s - z_1)(s - z_2) \dots (s - z_m)$$

tem grau  $n$ , ele tem  $n$  raízes e, portanto, o L.G.R. também tem  $n$  ramos, isto é, os polos de malha fechada descrevem  $n$  curvas.

#### Pontos de Início e Término do L.G.R.

O passo preliminar para se construir o L.G.R. consiste em marcar os polos e zeros de malha aberta no plano complexo. Utilizam-se para isso os símbolos "x" e "o", respectivamente.

O ganho  $k$  pode variar, em princípio, no intervalo:

$$0 < k < +\infty$$

Consideraremos como pontos de **início** (ou **partida**) do L.G.R. aqueles correspondentes a  $k \rightarrow 0^+$  e, como de **término** (ou **chegada**), os associados a  $k \rightarrow +\infty$ .

Conforme vimos, os polos de malha fechada são as raízes da equação característica:

$$(s - p_1) \cdot (s - p_2) \cdot \dots \cdot (s - p_n) + k \cdot (s - z_1) \cdot (s - z_2) \cdot \dots \cdot (s - z_m) = 0$$

e, portanto, o L.G.R. tem **início** ( $k=0$ ) nos **polos de malha aberta**.

Para determinar os pontos de **término** do L.G.R., é necessário analisar o ângulo de chegada nos zeros, o que será feito adiante. No entanto, apenas **como indicação** de que os zeros de malha aberta constituem pontos de término do LGR, note-se que a condição de módulo pode ser reescrita como:

$$\frac{|s - z_1| \cdot |s - z_2| \cdot \dots \cdot |s - z_m|}{|s - p_1| \cdot |s - p_2| \cdot \dots \cdot |s - p_n|} = \frac{1}{k}$$

Assim, quando  $k \rightarrow +\infty$ , o L.G.R. tende aos **zeros de malha aberta** do sistema.

Como o número de ramos do L.G.R. deve, obviamente, ser igual ao número de polos do sistema em malha fechada ( $n$ , no nosso caso) e como, em geral,  $m \leq n$ , há  $n - m$  ramos que tendem para **zeros no infinito** quando  $k \rightarrow +\infty$ . Estes ramos constituem as chamadas **assíntotas**. Discutiremos a sua determinação posteriormente.

### L.G.R. Sobre o Eixo Real

Vejam, inicialmente, qual é a contribuição de um par de polos complexos conjugados de malha aberta para a condição de fase sobre o eixo real.

Da figura, é imediato que  $\theta_1 + \theta_2 = 360^\circ$  e, portanto, o referido par de polos não contribui para a condição de fase.

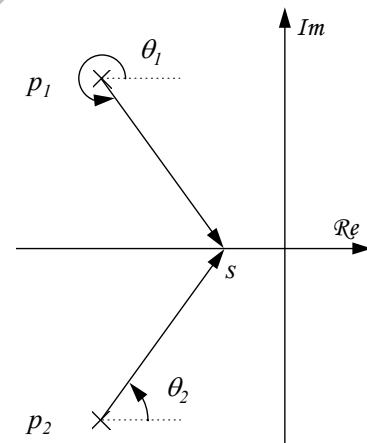
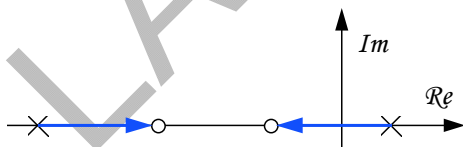
É evidente que o mesmo se verifica para pares de zeros complexos conjugados de malha aberta.

Sendo assim, para determinar quais os pontos do eixo real que pertencem ao L.G.R., é necessário considerar **unicamente** os polos e zeros **reais**.

Considere-se um ponto sobre o eixo real. Neste caso, as possíveis contribuições para a condição de fase são:

- \*  $+\phi_i = +180^\circ$  para cada zero real de malha aberta  $z_i$  à direita de  $s$ ;
- \*  $-\theta_i = -180^\circ$  para cada polo real de malha aberta  $p_i$  à direita de  $s$ ;
- \*  $\phi_i = \theta_i = 0^\circ$  para cada zero real  $z_i$  ou polo real  $p_i$  de malha aberta à esquerda de  $s$ ;

Dessa maneira, para que o referido ponto  $s$  do eixo real pertença ao L.G.R., o número **total** de polos e zeros reais de malha aberta à **direita** de  $s$  deve ser **ímpar**.



**Exemplo:** Ilustração de L.G.R. sobre o eixo real.

Note-se que este exemplo está em concordância também com as regras anteriores vistas, a saber: continuidade do LGR, número de ramos do LGR, pontos de início e término do L.G.R. e simetria com respeito ao eixo real;

### Assíntotas

Como vimos anteriormente, as assíntotas para  $k \rightarrow +\infty$  são em número igual ao excesso de polos sobre zeros. Sendo assim, esta regra deve ser aplicada apenas no caso em que  $n > m$ .

O argumento que serve de base para a determinação das assíntotas é bastante simples. Imaginemos então um ponto  $s$  suficientemente afastado da origem do plano complexo, isto é, tal que seu módulo seja muito maior do que aqueles dos polos e zeros de malha aberta do sistema.

Nessas condições, são praticamente iguais os ângulos  $\phi_i$  e  $\theta_j$ , isto é:

$$\phi_i \cong \theta_j \cong \alpha \quad (1 \leq i \leq m, 1 \leq j \leq n)$$

onde  $\alpha$  é o ângulo da assíntota com o eixo real. A condição para que o ponto  $s$  pertença ao L.G.R. reduz-se então a:

$$m\alpha - n\alpha = 180^\circ \pm i \cdot 360^\circ \quad (i = 0, 1, 2, \dots)$$

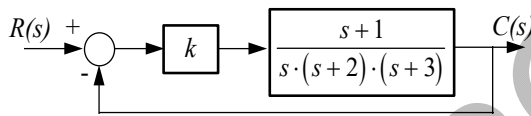
ou, equivalentemente:

$$\alpha = \frac{180^\circ}{n-m} \pm \frac{i}{n-m} \cdot 360^\circ \quad (i = 0, 1, 2, \dots)$$

A segunda parcela desta expressão mostra claramente a existência de  $n-m$  assíntotas. Dessa maneira, seria mais apropriado denotar os ângulos das assíntotas por  $\alpha_i$  ( $0 \leq i \leq n-m-1$ ).

Pode-se mostrar que o ponto de cruzamento das assíntotas sobre o eixo real é dado por:

$$s_0 = \frac{\sum_{i=1}^n p_i - \sum_{i=1}^m z_i}{n-m}$$



**Exemplo:** considere o sistema da figura ao lado. Em malha aberta, este sistema tem um zero ( $m=1$ ) em  $z_1 = -1$  e três polos ( $n=3$ ) em  $p_1 = 0$ ,  $p_2 = -2$  e  $p_3 = -3$ . Há, portanto, um excesso de  $n-m=2$  polos sobre zeros e o L.G.R. contém duas assíntotas. Seus ângulos são dados por:

$$\alpha_i = 90^\circ \pm i \cdot 180^\circ \quad (i = 0, 1)$$

isto é:

$$\alpha_0 = 90^\circ$$

$$\alpha_1 = 90^\circ \pm 180^\circ = -90^\circ \text{ (ou } 270^\circ)$$

Note que, para pontos **suficientemente afastados**, localizados sobre a assíntota de ângulo  $90^\circ$ , as contribuições dos polos e zeros para a condição de ângulo são:

$$\phi_1 \cong 90^\circ$$

$$\theta_1 \cong 90^\circ; \theta_2 \cong 90^\circ; \theta_3 \cong 90^\circ$$

o que indica que tais pontos pertencem ao L.G.R..

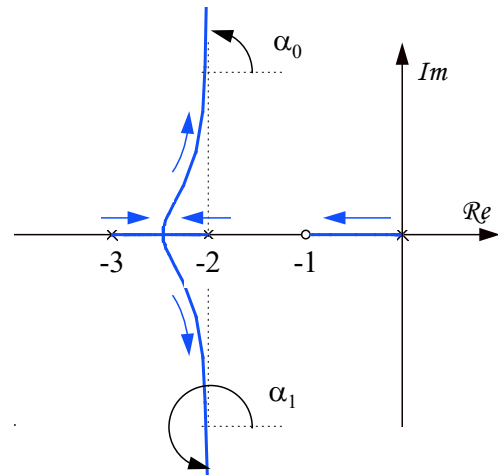
Para a assíntota de ângulo  $-90^\circ$  (ou  $270^\circ$ ):

$$\phi_1 \cong -90^\circ$$

$$\theta_1 \cong -90^\circ; \theta_2 \cong -90^\circ; \theta_3 \cong -90^\circ$$

e, portanto:

$$\phi_1 - \theta_1 - \theta_2 - \theta_3 \cong 180^\circ$$



de onde se conclui que, também neste caso, os pontos fazem parte do L.G.R..

O ponto de cruzamento das assíntotas é dado por:

$$s_0 = \frac{[(0) + (-2) + (-3)] - [-1]}{3 - 1} = \frac{-4}{2} = -2$$

Verifique, por fim, que as demais regras já discutidas são obedecidas pelo diagrama apresentado.

### ***Pontos de Partida e de Chegada Sobre o Eixo Real***

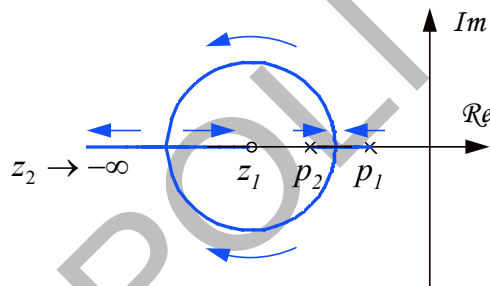
Se houver dois polos de malha aberta adjacentes sobre o eixo real e se o segmento entre eles for parte do L.G.R., então existirá pelo menos um ponto de **partida** nesse segmento.

De maneira análoga, se houver dois zeros adjacentes sobre o eixo real e se o segmento entre eles fizer parte do L.G.R., então haverá pelo menos um ponto de chegada pertencente a esse segmento. Esta regra se aplica também ao caso em que um dos zeros é infinito.

Se o segmento entre um polo e um zero reais pertencer ao L.G.R., então o número de pontos de partida sobre o segmento igualará o número de chegadas, **incluindo-se** aí o caso em que tal **número é nulo**.

Essas regras derivam diretamente da propriedade dos L.G.R.'s de terem início em polos e terminarem em zeros de malha aberta.

#### **Exemplo:**



### ***Regra empírica***

Zeros atraem o L.G.R. e polos repelem-no.

### ***Outras Regras***

As regras de construção do L.G.R. vistas até este ponto permitem **esboçar** o diagrama com relativa rapidez. Com base apenas nesse esboço, o projetista pode, muitas vezes, definir a **estrutura** do controlador mais adequada a um problema específico.

A escolha dos **valores numéricos dos parâmetros** do compensador, contudo, requer normalmente que se obtenha o L.G.R. de forma mais precisa. Atualmente esta tarefa se encontra grandemente facilitada pelo barateamento progressivo dos recursos computacionais.

As regras a serem vistas a seguir têm como característica permitir **detalhar** com **precisão** alguns pontos do L.G.R. e, pelas razões acima, perderam parte da importância original.

No entanto, em situações particulares, tais regras podem ser de utilidade.

#### **Determinação dos pontos de partida e chegada sobre o eixo real:**

Definindo os polinômios:

$$A(s) = (s - p_1) \cdot (s - p_2) \cdot \dots \cdot (s - p_n)$$

$$B(s) = (s - z_1) \cdot (s - z_2) \cdot \dots \cdot (s - z_m)$$

a equação característica pode ser escrita como:

$$A(s) + k \cdot B(s) = 0 \quad \Rightarrow \quad k = -\frac{A(s)}{B(s)}$$

Para cada ponto  $s$  do L.G.R. podemos encarar essa equação como definindo  $k$  na forma de uma função implícita de  $s$ .

Consideremos, para fixar idéias, o caso de um trecho do L.G.R. entre dois polos adjacentes sobre o eixo real conforme ilustrado na figura ao lado. À medida que  $k$  cresce, os polos de malha fechada se distanciam de  $p_1$  e  $p_2$  até que, quando  $k = k^*$ , eles coincidem (se continuarmos aumentando  $k$  além de  $k^*$ , os polos se tornarão complexos conjugados). Neste ponto, evidentemente,  $k$  assume o valor máximo sobre o eixo real. Uma condição necessária para isso é que:

$$\frac{dk}{ds} = 0 \quad \Rightarrow \quad \frac{dA(s)}{ds} \cdot B(s) - A(s) \cdot \frac{dB(s)}{ds} = 0$$

As raízes desta equação polinomial fornecem os possíveis candidatos a solução do problema. Note que, por hipótese, só nos interessam as soluções  $s^* \in \mathfrak{R}$  tais que:

$$k^* = -\frac{A(s^*)}{B(s^*)} > 0$$

É importante observar que a obtenção das soluções da equação polinomial acima pode, muitas vezes, ser uma tarefa bastante trabalhosa (ou mesmo impossível analiticamente, dependendo dos graus dos polinômios envolvidos).

#### **Determinação dos ângulos de partida ou chegada:**

Neste tópico trataremos da questão de como determinar os ângulos de partida de polos e ângulos de chegada a zeros.

Para fixar idéias, consideremos o caso ilustrado na figura ao lado e suponhamos que o problema seja determinar o ângulo de partida do polo  $p_1$ . Se nos restringirmos a pontos  $s$  numa região do plano complexo suficientemente pequena em torno de  $p_1$ , poderemos considerar que as contribuições dos zeros e demais polos para a condição de ângulo são praticamente constantes e dadas por:

$$\phi_i = \left| \frac{p_1 - z_i}{p_1 - p_i} \right| \quad (i = 1, 2, \dots, m)$$

$$\theta_i = \left| \frac{p_1 - p_i}{p_1 - p_i} \right| \quad (i = 2, 3, \dots, n)$$

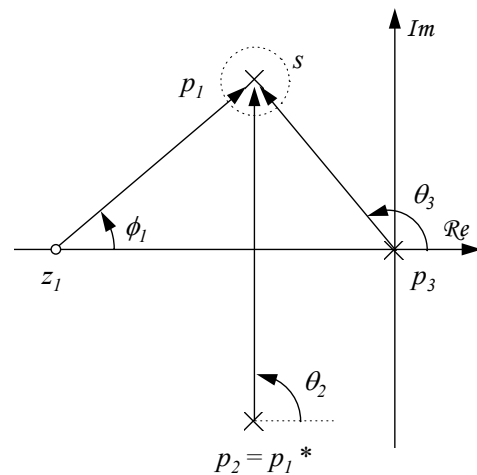
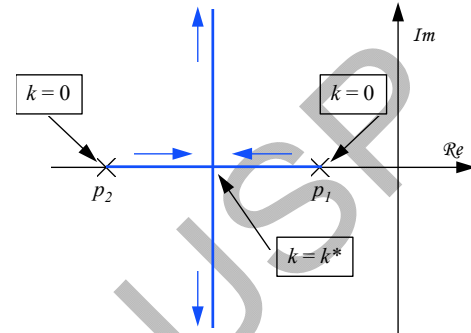
Por outro lado, a contribuição do polo  $p_1$  pode variar entre  $0^\circ$  e  $360^\circ$ , dependendo da posição do ponto  $s$ :

$$\theta_1 = \left| \frac{s - p_1}{s - p_1} \right|, \quad 0^\circ \leq \theta_1 < 360^\circ$$

A condição de fase permite determinar o ângulo de partida  $\theta_1$  como sendo a primeira determinação de:

$$\theta_1 = \sum_{j=1}^m \phi_j - \sum_{j=2}^n \theta_j - 180^\circ \pm i \cdot 360^\circ \quad (i = 0, 1, 2, \dots)$$

A mesma argumentação se aplica à determinação dos ângulos de chegada em zeros.



**Exemplo:** no caso ilustrado na figura ao lado, para determinarmos o ângulo de partida do polo duplo na origem, notamos que a contribuição angular do polo  $p_3$  para a condição de fase nas vizinhanças da origem é:

$$\theta_3 = \angle p_1 - p_3 = 0^\circ$$

Por outro lado, para pontos  $s$  numa vizinhança suficientemente pequena da origem:

$$\theta_1 = \theta_2 = \angle s - p_1$$

devem ser tais que a condição de fase se verifique:

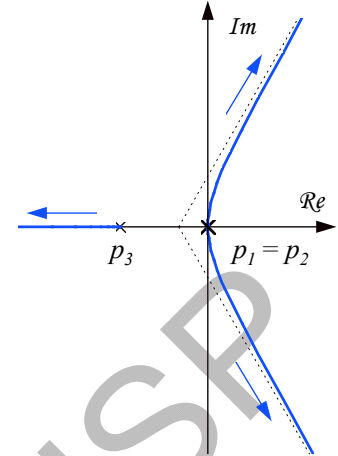
$$-2\theta_1 - 0^\circ = 180^\circ \pm i \cdot 360^\circ \quad (i = 0, 1, 2 \dots)$$

e, portanto:

$$\theta_1 = -90^\circ \pm i \cdot 180^\circ \quad (i = 0, 1, 2 \dots)$$

o que fornece duas soluções em primeira determinação:

$$\theta_1 = 90^\circ \quad \text{e} \quad \theta_2 = 270^\circ$$



#### **Determinação dos pontos de cruzamento com o eixo imaginário:**

Para sistemas de ordem superior a 4, esta etapa pode ser extremamente trabalhosa, sendo freqüentemente omitida quando se traça o L.G.R. manualmente.

A primeira maneira de calcular os pontos de intersecção com o eixo imaginário consiste em:

- \* utilizando o Critério de Routh, obtêm-se os valores do ganho  $k$  correspondentes a cruzamentos do eixo imaginário (tanto no sentido S.P.E.  $\rightarrow$  S.P.D., quanto no sentido S.P.D.  $\rightarrow$  S.P.E.);
- \* substituem-se esses valores de  $k$  na equação característica, faz-se  $s = j\omega$  e obtêm-se os valores de  $\omega$  procurados após igualar a zero as partes real e imaginária.

A outra forma de se obter os pontos de intersecção do L.G.R. com o eixo imaginário corresponde a considerar  $k$  como incógnita e substituir  $s = j\omega$  na equação característica. Igualando as partes real e imaginária a zero, obtêm-se duas equações que, em tese, permitem determinar  $k$  e  $\omega$ .

**Exemplo:** Seja o sistema tal que

$$G(s) \cdot H(s) = \frac{k}{s^3 + 8s^2 + 32s}$$

cuja equação característica em malha fechada é:

$$s^3 + 8s^2 + 32s + k = 0$$

Pelo primeiro procedimento apresentado, aplicamos o Critério de Routh e obtemos  $k = 256$  como sendo o valor de  $k$  correspondente à ocorrência de cruzamento do eixo imaginário. Fazendo  $s = j\omega$  e substituindo  $k = 256$  na equação característica, obtemos:

$$(-8\omega^2 + 256) + j \cdot (-\omega^3 + 32\omega) = 0$$

De onde resulta:

$$\omega = \pm\sqrt{32}$$

O segundo procedimento apresentado conduz diretamente a:

$$(-8\omega^2 + k) + j \cdot (-\omega^3 + 32\omega) = 0$$

que tem como única solução de interesse:

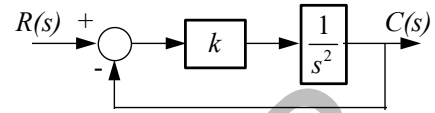


$$\omega = \pm\sqrt{32} \quad e \quad k = 256$$

## 6.4 Exemplos de Aplicação

Além de servirem como exemplos de aplicação das regras vistas até aqui, os problemas que se seguem procuram ilustrar também o significado da regra heurística mencionada anteriormente.

**Exemplo 1:** Seja o sistema indicado na figura ao lado que pode, por exemplo, representar um sistema de controle de posição de uma inércia pura através de um controlador proporcional.<sup>1</sup>



1. **Pontos de início e término do L.G.R.:** o L.G.R. parte da origem do plano complexo (polo duplo);

2. **L.G.R. sobre o eixo real:** não há;

3. **Assíntotas:** neste caso,  $m = 0$  e  $n = 2$ , de maneira que existem duas assíntotas. Seus ângulos são:

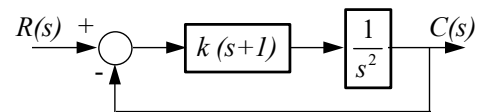
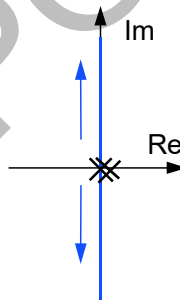
$$\alpha_1 = 90^\circ \quad e \quad \alpha_2 = 270^\circ.$$

O cruzamento das assíntotas sobre o eixo real se dá no ponto de abscissa  $s_0 = 0$ , o que significa que as assíntotas coincidem com os semi-eixos imaginários positivo e negativo, respectivamente.

4. **Pontos de partida e de chegada sobre o eixo real:** não há, pois não existe parte do L.G.R. sobre o eixo real no caso presente.

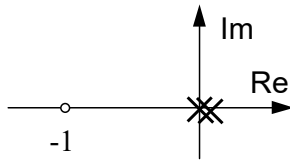
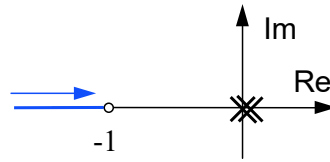
5. **Ângulo de partida:** os ângulos de partida são  $\pm 90^\circ$  (já que a contribuição dos zeros para a condição de fase é nula, uma vez que o sistema não tem zeros).

6. **Esboço do L.G.R.:** é imediato concluir que, neste caso, o L.G.R. coincide com o eixo imaginário. O sistema resulta marginalmente estável para qualquer  $k > 0$ .



**Exemplo 2:** Consideremos agora o sistema indicado na figura ao lado. Podemos encarar este caso como sendo correspondente ao de controle de posição de uma inércia pura através de um controlador PD (proporcional + derivativo).

<sup>1</sup> Este, por sinal, talvez seja o modelo mais simples utilizado em problemas de controle de atitude de satélites artificiais.

1. Pontos de início e término do L.G.R2. L.G.R. sobre o eixo real

3. Assíntotas: como  $m = 1$  e  $n = 2$ , existe apenas uma assíntota, cujo ângulo é

$$\alpha = 180^\circ \pm i \cdot 360^\circ$$

Neste caso, a assíntota coincide com a parte do semi-eixo real negativo situada à esquerda do ponto -1.

Note também que, em razão da simetria do L.G.R. com relação ao eixo real, a **única** possibilidade de existência de **uma** só assíntota corresponde a ela estar contida no eixo real.

4. Pontos de partida e de chegada sobre o eixo real: como o L.G.R. é simétrico em relação ao eixo e como ele se inicia nos polos e termina nos zeros, concluímos que existe um ponto de chegada do L.G.R. sobre o eixo real (podemos imaginar que existe um zero em  $-\infty$ ).

Para obter os pontos de partida e chegada, escrevemos:

$$A(s) = s^2$$

$$B(s) = s + 1$$

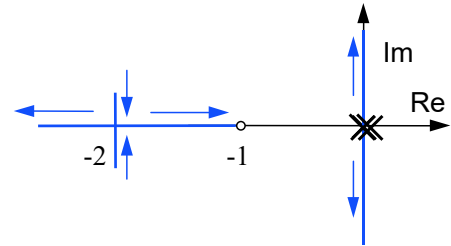
Daí:

$$\frac{dA(s)}{ds} \cdot B(s) - A(s) \cdot \frac{dB(s)}{ds} = 2s \cdot (s + 1) - s^2 = s \cdot (s + 2) = 0$$

Portanto o ponto de chegada sobre o eixo real se localiza em:

$$s = -2$$

5. Ângulo de partida: neste caso, o ângulo de partida é  $\pm 90^\circ$ .



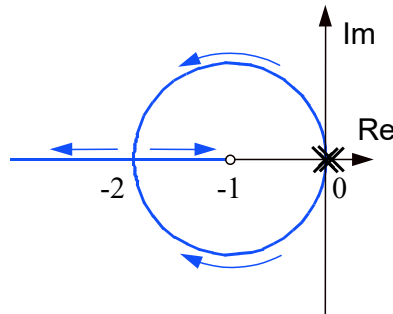
6. Pontos de cruzamento com o eixo imaginário: o polinômio característico em malha fechada é:

$$s^2 + ks + k = 0$$

A Tabela de Routh equivalente é mostrada ao lado. Como  $k > 0$ , podemos concluir que o sistema em malha fechada será sempre estável. Portanto, não haverá cruzamento do eixo imaginário.

$s^2$	1	$k$
$s^1$	$k$	
$s^0$	$k$	

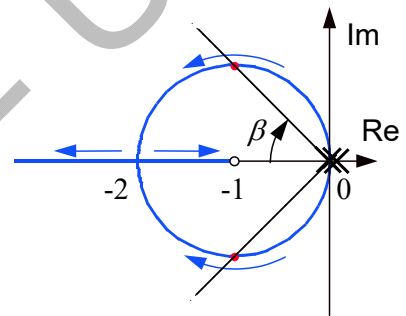
7. **Esboço do L.G.R.:** o L.G.R. pode ser esboçado conforme ilustrado abaixo, após aplicar a condição de fase a alguns pontos do plano  $s$ .



Comparando este diagrama com o do Exemplo 1, notamos que a presença do zero produziu uma "atração" do L.G.R. para próximo do ponto -1.

Neste caso, o sistema resultante é estável para qualquer valor do ganho  $k > 0$ .

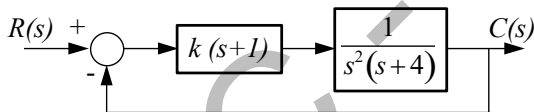
Se quisermos, por exemplo, determinar o valor de  $k$  que corresponde a  $\xi = \sqrt{2} / 2$ , basta traçarmos as retas de amortecimento constante com ângulo  $\beta = 45^\circ$ , obtermos os pontos de intersecção delas com o L.G.R. e, utilizando a condição de ganho, calcularmos o valor de  $k$ .



A condição de ganho, neste caso, fica:

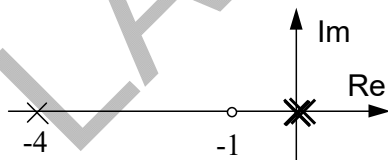
$$k = \frac{|s - 0| \cdot |s - 0|}{|s + 1|} \Big|_{s=-1+j} = \frac{\sqrt{2} \cdot \sqrt{2}}{1} = 2$$

Neste exemplo, a parte do L.G.R. fora do eixo real tem a forma de uma circunferência e, por isso, o valor de  $k$  acima pode ser obtido de imediato. No entanto, em casos mais gerais, é necessário desenhar o L.G.R. com uma precisão razoável e, no diagrama, **medir** os comprimentos dos segmentos  $|s - p_1|$ ,  $|s - p_2|$ , ...,  $|s - p_n|$ ,  $|s - z_1|$ ,  $|s - z_2|$ , ...,  $|s - z_m|$ , para então calcular o valor de  $k$  através da condição de ganho.

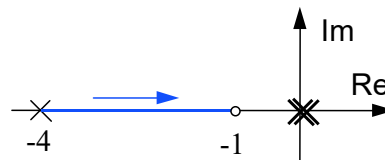


**Exemplo 3:** Seja agora o sistema indicado na figura ao lado. Podemos imaginar que o projetista, no Exemplo 2, tenha deixado de incluir no modelo o polo em  $s = -4$ .

1. **Pontos de início e término do L.G.R**



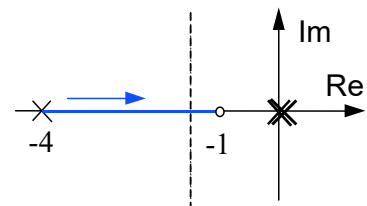
2. **L.G.R. sobre o eixo real**



3. **Assíntotas:** neste caso,  $n = 3$  e  $m = 1$ , portanto há duas assíntotas, cujos ângulos são:

$$\alpha_1 = 90^\circ \quad \text{e} \quad \alpha_2 = 270^\circ$$

O ponto de intersecção das assíntotas com o eixo real tem abscissa dada por:



$$s_0 = \frac{[0 + 0 - 4] - [-1]}{3 - 1} = -1.5$$

4. **Pontos de partida e de chegada sobre o eixo real:** no caso presente, o único trecho do eixo real onde **podem** ocorrer pontos de partida e de chegada é aquele situado entre o polo em  $s = -4$  e o zero em  $s = -1$ . No entanto, o número de possíveis pontos de chegada deve ser igual ao de pontos de partida (eventualmente, ambos nulos).

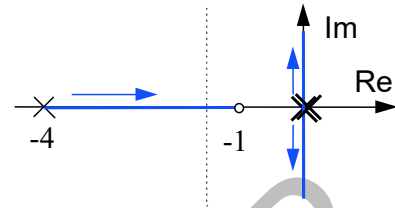
5. **Ângulo de partida:** os ângulos de partida dos polos na origem são  $\pm 90^\circ$ , já que as demais contribuições para a condição de fase nesse ponto são nulas.

6. **Pontos de cruzamento com o eixo imaginário:** o polinômio característico em malha fechada é:

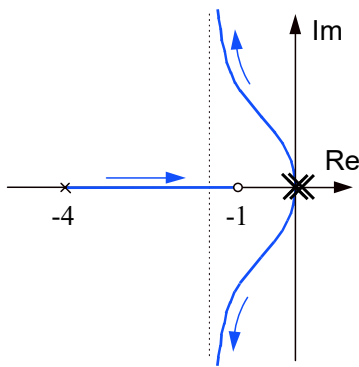
$$s^3 + 4s^2 + ks + k = 0$$

A Tabela de Routh equivalente é mostrada ao lado. Como  $k > 0$ , concluímos que o sistema será sempre estável. Ou seja, não haverá cruzamento entre o L.G.R. e o eixo imaginário.

7. **Esboço do L.G.R.:** aplicando a condição de fase a alguns pontos do plano  $s$  e utilizando as considerações feitas até este ponto, podemos esboçar o L.G.R. (figura abaixo).



$s^3$	1	$k$
$s^2$	4	$k$
$s^1$	$3k/4$	
$s^0$	$k$	



Comparando este diagrama com aquele obtido no Exemplo 2, notamos que a presença do polo adicional em  $s = -4$  teve, dentre outros, o efeito de "repelir" o L.G.R. para longe de si.

Além disso, neste exemplo, a presença do referido polo fez com que se alterasse qualitativamente o comportamento do L.G.R. para valores elevados de ganho: enquanto no Exemplo 2 o sistema se tornava superamortecido (par de polos reais) para ganhos altos, neste caso, o sistema se torna oscilatório (par de polos complexos conjugados).